

連続講座

断層映像法の基礎 第17回  
MRI再構成画像へのノイズの影響

篠原 広行<sup>1)</sup>・坂口 和也<sup>1)</sup>・今江 禄一<sup>1)</sup>・薄葉 大輔<sup>1)</sup>  
橋本 雄幸<sup>2)</sup>

<sup>1)</sup> 東京都立保健科学大学 放射線学科

<sup>2)</sup> 横浜創英短期大学 情報処理学科

はじめに

今までの解説やシミュレーションの中では、ノイズなどの変動成分については無視して純粋な信号について解説し、シミュレーションを行ってきた。

今回は、MRIの画像再構成において計測データに混入するノイズがどのように影響するかを検証する。そのために計測データに混入するノイズの性質についてまとめる。次に、計測データとノイズの関係を明らかにし、そのノイズが計測データに混入した場合、再構成法の違いによってどのように影響するかを解説する。はじめに2次元フーリエ変換法での影響を見て、次に投影再構成法での影響を見て、両者を比較する。

- 1. ノイズの性質
- 2. 計測データとノイズ
- 3. 2次元フーリエ変換法でのノイズの影響
- 4. 投影再構成法でのノイズの影響

1. ノイズの性質

実験上の計測データには、望まれる信号の他にその信号とは相関のない望まれない信号が必ず含まれる。MRIの計測データにも例外なく望まれない信号が含まれてくる。その望まれない信号のことをノイズと呼んでいるが、このノイズは予測のつかないランダムな信号となっている。このランダム信号は、数学的にはランダム変数として記述される。ランダム変数の値は、サンプル点に対し一定値を与えず、絶えず変動する。その様子を図1に示す。このようなランダム変数を性格付けるためには、確率と統計の考え方を持ち込む必要がある。

ランダム変数は、多くのサンプルを取った場合、確率密度関数(PDF; probability density function)という形で表現することができる。ランダム変数の確率密度関数  $p(x)$  は、

$$\int_{-\infty}^{\infty} p(x) dx = 1 \tag{1}$$

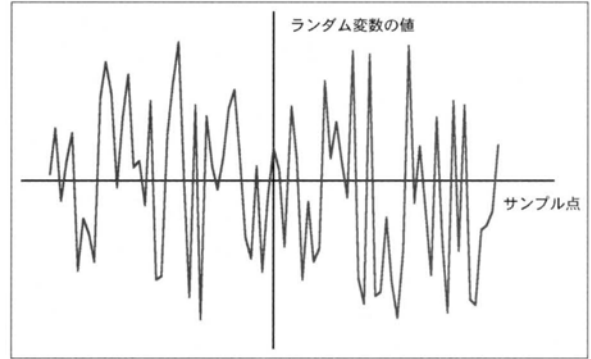
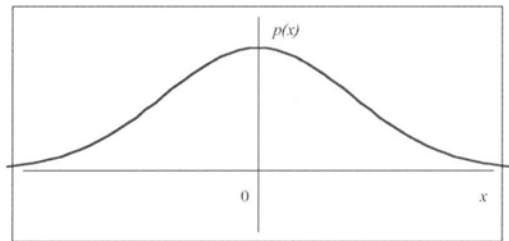


図1 ランダム変数の値  
サンプル点に対して、どんな値になるか予測がつかないようになっている。



(a) 確率密度関数が一定の値を持つ関数の形をとる場合のグラフ。



(b) 確率密度関数がガウス関数の形をとる場合のグラフ。

図2 ランダム変数の確率密度関数の例

という関係がある。この確率密度関数 $p(x)$ は、様々な形をとる。代表的な形には、一様ノイズに相当する一定の値を持つ関数や、ガウス型ノイズに相当するガウス関数などがある。その形を図2(a)と(b)に示す。

計測において、この確率密度関数の形が必ずしも分かっているとは限らない。この場合、統計量の中で最も基本となる平均値(期待値)と分散または標準偏差を用いてランダム変数の性質を表す。平均値は、すべてのデータの値の和をデータの個数で割った値である。正確には算術平均と呼び、サンプルの総数を $n$ 、 $i$ 番目のサンプルの値を $x_i$ としたとき、平均値を数式で表すと、

$$\bar{x} = \frac{\sum_{i=1}^n x_i}{n} \tag{2}$$

となる。ランダム変数 $X$ の確率密度関数を $p(x)$ として、 $p(x)$ を用いて平均値(この場合、期待値と呼ぶことが多いが)を表すと、

$$\bar{x} = E(x) = \int_{-\infty}^{\infty} x p(x) dx \tag{3}$$

となり、離散的な表現にすると、

$$\bar{x} = E(x) = \sum_{i=1}^n x_i p(x_i) \tag{4}$$

となる。分散は、平均値からの偏差を2乗した値をすべて加え、その平均をとった値である。数式で表すと、

$$V = \frac{\sum_{i=1}^n (x_i - \bar{x})^2}{n} \tag{5}$$

となる。確率密度関数を用いて表すと、

$$\sigma_x^2 = \text{var}(X) = E\{(x - \bar{X})(x - \bar{X})\} = \int_{-\infty}^{\infty} (x - \bar{X})^2 p(x) dx \tag{6}$$

となり、離散的な表現にすると、

$$\sigma_x^2 = \text{var}(X) = \sum_{i=1}^n (x_i - \bar{X})^2 p(x_i) \tag{7}$$

となる。標準偏差は、分散の平方根をとった値である。式で表すと、

$$s = \sqrt{V} \tag{8}$$

または、

$$\sigma_x = \sqrt{\text{var}(X)} \tag{9}$$

となる。

確率密度関数が $x_1$ と $x_2$ の間で一定の値を持つ関数であると仮定すると、

$$p(x) = \frac{1}{x_2 - x_1} \tag{10}$$

となる。ここで、 $x_2 > x_1$ とする。このときの平均値と標準偏差を求めると、

$$\bar{X} = \int_{x_1}^{x_2} \frac{x}{x_2 - x_1} dx = \frac{x_1 + x_2}{2} \tag{11}$$

$$\sigma_x = \sqrt{\int_{x_1}^{x_2} (x - \frac{x_1 + x_2}{2})^2 \frac{1}{x_2 - x_1} dx} = \frac{x_2 - x_1}{2\sqrt{3}} \tag{12}$$

となる。また、ガウス型の場合、その確率密度関数は、

$$p(x) = \frac{1}{\sqrt{2\pi}\sigma} e^{-\frac{(x-\mu)^2}{2\sigma^2}} \tag{13}$$

となる。ここで、 $\mu$ は平均値で $\sigma$ は標準偏差である。

2つの異なるランダム変数の間には、2つの重要な関係がある。1つは統計的に独立であることで、もう1つは相関がない(無相関である)ことである。統計的に独立であるとき、ランダム変数 $X_1$ の確率が $p_1(x_1)$ でランダム変数 $X_2$ の確率が $p_2(x_2)$ 、両者が同時に起こる確率が $p_{12}(x_1, x_2)$ とすると、それぞれの関係は、

$$p_{12}(x_1, x_2) = p_1(x_1)p_2(x_2) \tag{14}$$

となる。また、ランダム変数 $X_1$ と $X_2$ の相関係数を $c_{12}$ とすると

$$c_{12} = \frac{E\{(x_1 - \bar{X}_1)(x_2 - \bar{X}_2)\}}{\sigma_1 \sigma_2} \tag{15}$$

となる。ここで、 $\bar{X}_1$ と $\bar{X}_2$ はそれぞれの期待値で、 $\sigma_1$ と $\sigma_2$ はそれぞれの標準偏差である。

両者が統計的に独立であるとき、相関係数 $c_{12}$ は(14)式を用いると、

$$\begin{aligned} c_{12} &= \frac{1}{\sigma_1 \sigma_2} \int_{-\infty}^{\infty} \int_{-\infty}^{\infty} (x_1 - \bar{X}_1)(x_2 - \bar{X}_2) p_{12}(x_1, x_2) dx_1 dx_2 \\ &= \frac{1}{\sigma_1 \sigma_2} \int_{-\infty}^{\infty} (x_1 - \bar{X}_1) p_1(x_1) dx_1 \int_{-\infty}^{\infty} (x_2 - \bar{X}_2) p_2(x_2) dx_2 \\ &= \frac{1}{\sigma_1 \sigma_2} (X_1 - \bar{X}_1)(X_2 - \bar{X}_2) \\ &= 0 \end{aligned} \tag{16}$$

となり、相関係数がゼロとなる。相関係数がゼロとなるので、両者は無相関となる。

## 2. 計測データとノイズ

計測データに混入するノイズは、平均値がゼロで、標準偏差 $\sigma$ を持つランダム変数となる。式で表すと平均値は、

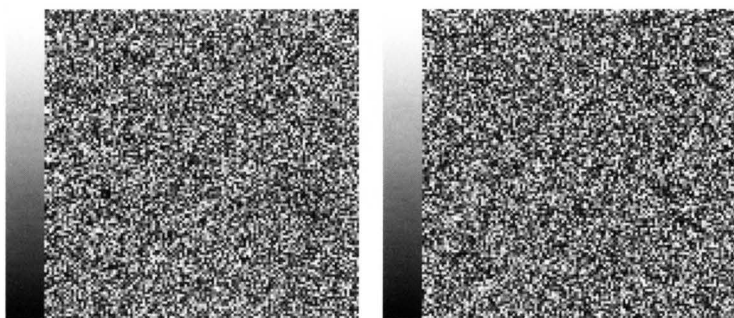
$$E(X) = 0 \tag{17}$$

となり、分散は、

$$\text{var}(X) = \sigma_x^2 \tag{18}$$

となる。

このノイズ成分 $X$ は信号に加算的に混入する。計測データを $S$ として信号成分を $x$ とすると、



(a) 実部の計測データ (b) 虚部の計測データ

図3 ノイズ成分のみの計測データ

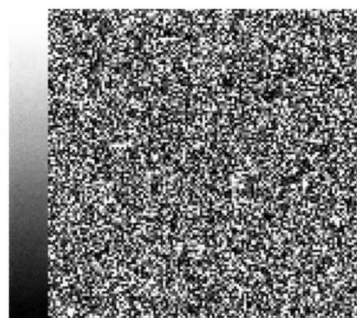
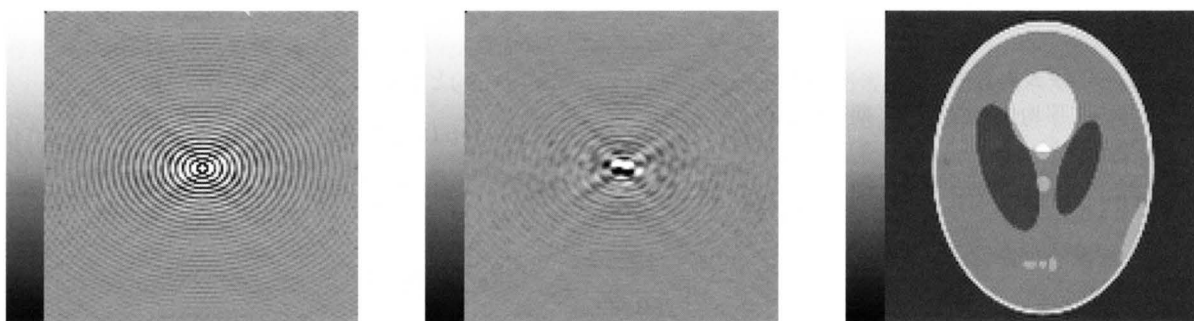


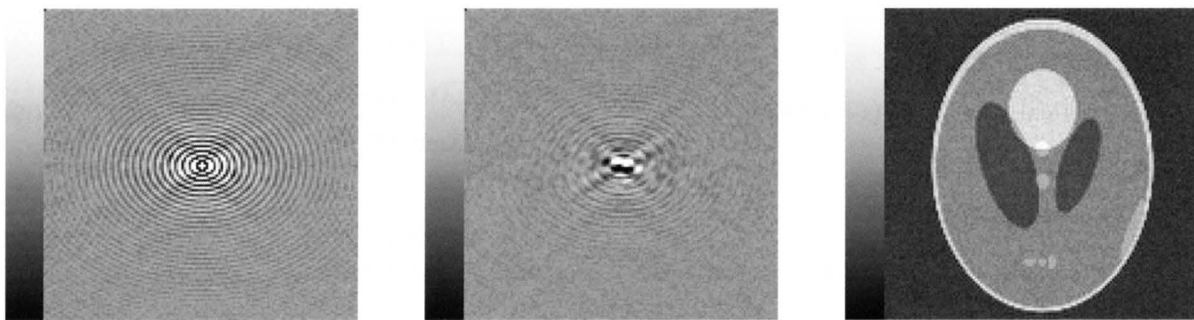
図4 2次元フーリエ変換法でノイズ成分を再構成した画像

図3の実部と虚部のデータから2次元フーリエ逆変換を用いて再構成している。



(a) 実部の計測データ (b) 虚部の計測データ (c) 再構成画像

図5 2次元フーリエ変換法の数値ファントムの信号に信号の最大値の1/100000 (50dB) のノイズ成分を加えた計測データとその計測データから2次元フーリエ逆変換で再構成した画像



(a) 実部の計測データ (b) 虚部の計測データ (c) 再構成画像

図6 2次元フーリエ変換法の数値ファントムの信号に信号の最大値の1/10000 (40dB) のノイズ成分を加えた計測データとその計測データから2次元フーリエ逆変換で再構成した画像

$$S = x + X \tag{19}$$

と表すことができる。この(19)式にランダム変数の性質を用いると計測数Nと信号ノイズ比S/Nの関係を導くことができる。1回の計測のS/Nは、

$$(S/N)_1 = \frac{|x|}{\sigma_x} \tag{20}$$

となる。N回計測して平均をとった場合、

$$\frac{1}{N} \sum_{i=1}^N (x + X_i) = x + \frac{1}{N} \sum_{i=1}^N X_i \tag{21}$$

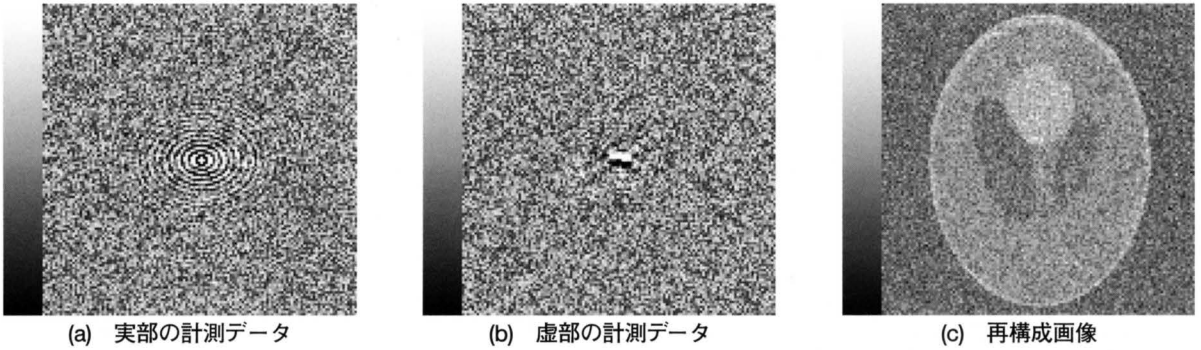


図7 2次元フーリエ変換法の数値ファントムの信号に信号の最大値の1/1000 (30dB) のノイズ成分を加えた計測データとその計測データから2次元フーリエ逆変換で再構成した画像

となり、この場合のS/Nは、

$$(S/N)_N = \frac{|x|}{\sqrt{\text{var}(\frac{1}{N} \sum_{i=1}^N X_i)}} = \sqrt{N} \frac{|x|}{\sigma_x} = \sqrt{N} (S/N)_1 \quad (22)$$

となる。よって、N回計測すると、 $\sqrt{N}$ 倍S/Nが良くなる。

### 3. 2次元フーリエ変換法でのノイズの影響

信号をゼロとして、ノイズ成分のみで128×128の計測データを作成した画像を図3(a), (b)に示す。図3(a)は実部の計測データで図3(b)は虚部の計測データを表している。両者とも同じようにランダム変数を用いてノイズ成分を作成している。ランダム変数には一定の値を持つ確率密度関数を用いている。平均をゼロ、標準偏差を1とするために、一定値の幅は $\pm\sqrt{3}$ としている。この計測データから実際に実部と虚部の平均値  $\mu_a, \mu_b$  と標準偏差  $\sigma_a, \sigma_b$  をそれぞれ求めると、

$$\begin{aligned} \mu_a &= 0.002325, & \mu_b &= -0.002045 \\ \sigma_a &= 1.002654, & \sigma_b &= 1.001224 \end{aligned}$$

となる。平均値がゼロ、標準偏差が1に近い値になっている。

このデータをもとに、2次元フーリエ変換法でノイズ成分のみを再構成する。2次元フーリエ変換法では、計測データを2次元フーリエ逆変換することによって再構成が行われる。再構成を行った画像を図4に示す。この再構成画像の平均値  $\mu_1$  と標準偏差  $\sigma_1$  を求めると、

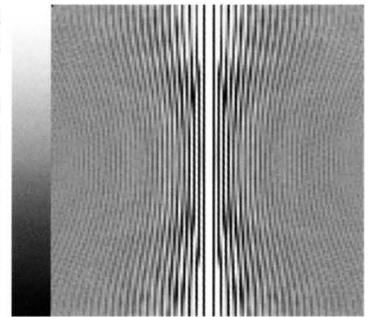
$$\begin{aligned} \mu_1 &= 0.000004 \\ \sigma_1 &= 0.007849 \end{aligned}$$

となる。この結果より、再構成しても平均値はほぼゼロであることが分かる。また、標準偏差は、2次元フーリエ逆変換の定義により、

$$X_1[u,v] = \frac{1}{N^2} \sum_{m=-N/2}^{N/2-1} \sum_{n=-N/2}^{N/2-1} X[m,n] e^{i2\pi(um+vn)/N^2} \quad (23)$$

図8 投影再構成法でノイズ成分を再構成した画像

図3の実部と虚部のデータにおいて横軸を動径方向、縦軸を角度方向のデータと見なし、フィルタ補正逆投影法で再構成している。



となり、ランダム変数の性質から分散は

$$\sigma_1^2 = \frac{1}{N^2} \sigma^2 \quad (24)$$

となる。よって標準偏差は、1/N倍となるので、1/128 = 0.0078125に近い値になっている。

次に、このノイズを数値ファントムの信号に加えた場合、その再構成画像がどのようになるかをシミュレーションする。ノイズの標準偏差の値を計測データの最大値の1/100000にして加えた実部と虚部の計測データとその計測データから2次元フーリエ逆変換で再構成した画像をそれぞれ図5(a)~(c)に示す。ノイズレベルの単位は、dB(デシベル)を用いるが、dBで表すとこのノイズレベルは50dBとなる。このノイズレベルでは、ほとんどノイズの影響は見られない。計測データの最大値の1/10000 (40dB) のノイズを加えた計測データとその計測データから再構成した画像を図6(a)~(c)に示す。このノイズレベルでは、ノイズが多少目立ってきている。最後に計測データの最大値の1/1000 (30dB) のノイズを加えた計測データとその計測データから再構成した画像を図7(a)~(c)に示す。

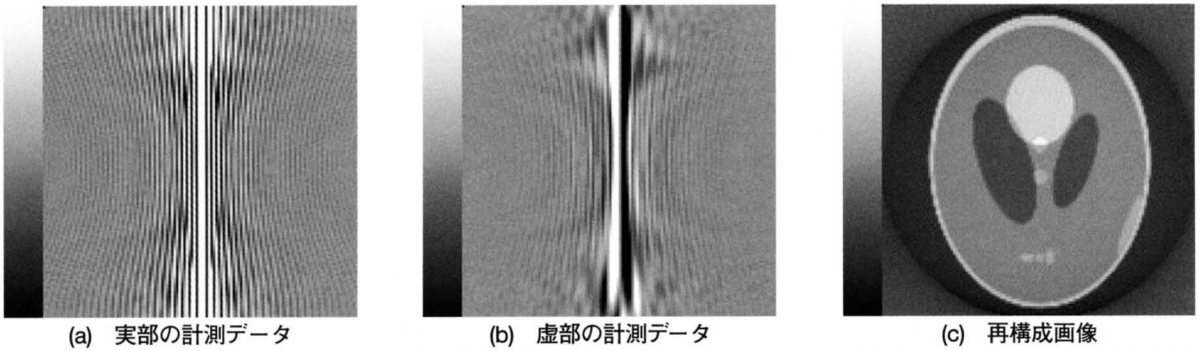


図9 投影再構成法の数値ファントムの信号に信号の最大値の $1/100000$  (50dB) のノイズ成分を加えた計測データとその計測データからフィルタ補正逆投影法で再構成した画像

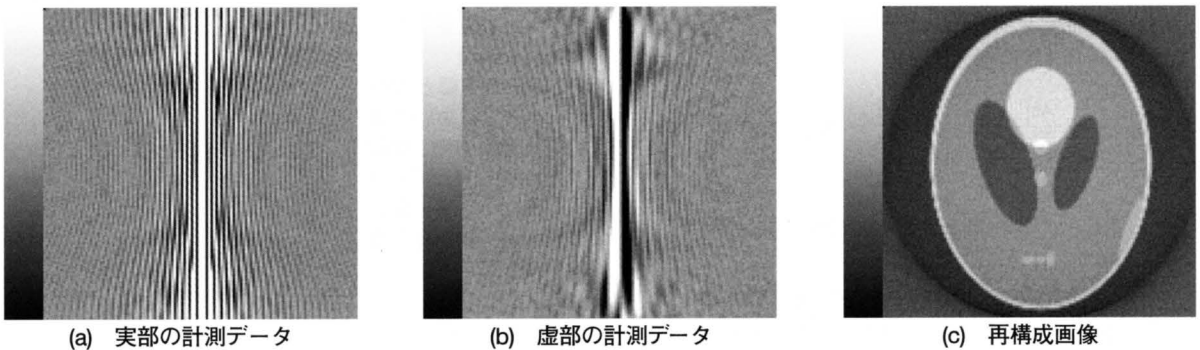


図10 投影再構成法の数値ファントムの信号に信号の最大値の $1/10000$  (40dB) のノイズ成分を加えた計測データとその計測データからフィルタ補正逆投影法で再構成した画像

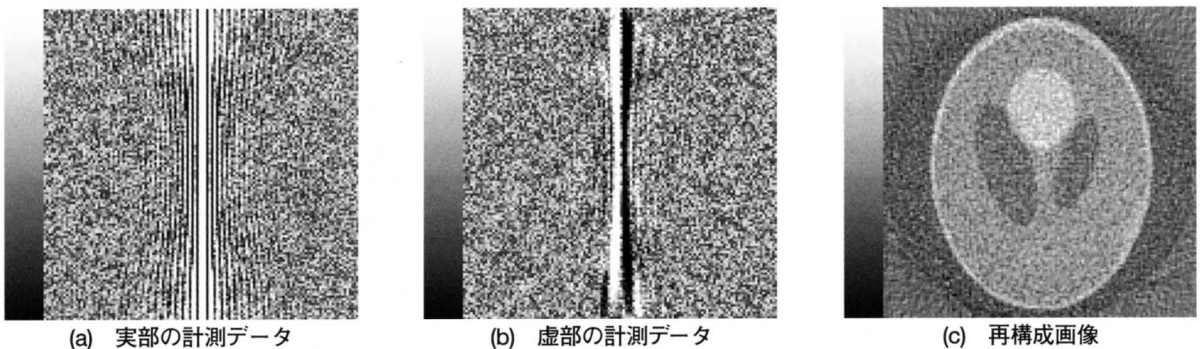


図11 投影再構成法の数値ファントムの信号に信号の最大値の $1/1000$  (30dB) のノイズ成分を加えた計測データとその計測データからフィルタ補正逆投影法で再構成した画像

このノイズレベルでは、かなりノイズが目立っている。

#### 4. 投影再構成法でのノイズの影響

2次元フーリエ変換法と同じ計測データを用いて、

投影再構成法で再構成する。投影再構成法では、フィルタ補正逆投影をすることによって再構成が行われる。再構成を行った画像を図5に示す。この再構成画像の平均値 $\mu_1$ と標準偏差 $\sigma_1$ を求めると、

$$\mu_1 = 0.000052$$

$$\sigma_1 = 0.004769$$

となる。この結果より、投影再構成法でも再構成したノイズ画像の平均値はほぼゼロであることが分かる。また、標準偏差は若干ではあるが2次元フーリエ変換法よりも小さくなっている。画像を見ると、四隅の辺りにフィルタ補正逆投影法における特徴的なアーチファクトが生じている。これは、投影再構成法では画像に内接する円内領域でデータがとられるので、その外側には元々のデータがないのでアーチファクトが生じてしまう。また、データのサンプル点を2次元フーリエ変換法と等しくした場合、データを取得する領域が小さい分だけノイズに対して有利になり、再構成画像の標準偏差が若干小さくなる。

次に、このノイズを数値ファントムの信号に加えた場合のシミュレーションを行う。ノイズレベルは、2次

元フーリエ変換法と同様とする。ノイズレベルを50dBにした計測データとフィルタ補正逆投影法で再構成した画像を図9(a)~(c)に示す。また、ノイズレベル40dBにした計測データと再構成した画像を図10(a)~(c)に示す。最後にノイズレベルを30dBにした計測データと再構成した画像を図11(a)~(c)に示す。各ノイズレベルでのノイズの影響は2次元フーリエ変換法とほぼ同じ傾向を見せるが、数値ファントム上でのノイズの大きさは2次元フーリエ変換法に比べると若干小さくなっている。

**謝辞：**本稿で使用したプログラムの開発は、東京都立保健科学大学特定プロジェクト研究「生体内可視化技術に関する教育研究支援プログラムの開発」によるものである。

ダウンロードされた論文は私的利用のみが許諾されています。公衆への再配布については下記をご覧ください。

### 複写をご希望の方へ

断層映像研究会は、本誌掲載著作物の複写に関する権利を一般社団法人学術著作権協会に委託しております。

本誌に掲載された著作物の複写をご希望の方は、(社)学術著作権協会より許諾を受けて下さい。但し、企業等法人による社内利用目的の複写については、当該企業等法人が社団法人日本複写権センター（(社)学術著作権協会が社内利用目的複写に関する権利を再委託している団体）と包括複写許諾契約を締結している場合にあっては、その必要はございません（社外頒布目的の複写については、許諾が必要です）。

権利委託先 一般社団法人学術著作権協会  
〒107-0052 東京都港区赤坂9-6-41 乃木坂ビル3F FAX：03-3475-5619 E-mail：info@jaacc.jp

複写以外の許諾（著作物の引用、転載、翻訳等）に関しては、(社)学術著作権協会に委託致しておりません。

直接、断層映像研究会へお問い合わせください

Reprographic Reproduction outside Japan

One of the following procedures is required to copy this work.

1. If you apply for license for copying in a country or region in which JAACC has concluded a bilateral agreement with an RRO (Reproduction Rights Organisation), please apply for the license to the RRO.

Please visit the following URL for the countries and regions in which JAACC has concluded bilateral agreements.

<http://www.jaacc.org/>

2. If you apply for license for copying in a country or region in which JAACC has no bilateral agreement, please apply for the license to JAACC.

For the license for citation, reprint, and/or translation, etc., please contact the right holder directly.

JAACC (Japan Academic Association for Copyright Clearance) is an official member RRO of the IFRRO (International Federation of Reproduction Rights Organisations).

Japan Academic Association for Copyright Clearance (JAACC)

Address 9-6-41 Akasaka, Minato-ku, Tokyo 107-0052 Japan

E-mail info@jaacc.jp Fax: +81-33475-5619